

تبعد تغيرات استخدامات الأراضي والغطاءات الأرضية في ولاية البويرة باستعمال صور القمر الاصطناعي لاذ سات

The Monitoring Changes in land use and land cover in Bouira, by using satellite images of Landsat

محمد مزراق

المدرسة العليا للأساتذة بوزيجلة - الجزائر

mezreg.mohamed@ensb.dz

تاريخ النشر: 2022/10/01

تاريخ القبول: 2022/06/14

تاريخ الإرسال: 2022/04/27

الملخص:

في هذه الدراسة تم تتبع التغيرات التي طرأت على استخدامات الاراضي والغطاءات الأرضية في ولاية البويرة من سنة 1995 حتى 2017، عن طريق تحليل و تصنيف كل من الصور الفضائية للفقريين الاصطناعيين لاندست 8 و 5 (OLI و TM)، وبالاعتماد كذلك على العينات الأرضية المرفوعة من الميدان ومن الصور الجوية ومن صور القمر الاصطناعي (QuickBird). تمت معالجة بعض البيانات عن طريق برامج نظم المعلومات الجغرافية (MapInfo, ArcView)، والبعض الآخر عن طريق برامج تحليل الصور (RDAS, ENVI)، ولتأكيد نتائج مختلف تصنفيات الصور استعنا بمصفوفات الخطأ. كشفت الصور أن نمط المناطق العمرانية كان أكثر الأنماط تغيراً من حيث الزيادة بـ 80,09%， يليه نمط الزراعات الأخرى بـ 41,02%， في حين شهدت باقي الأنماط انخفاضات محسوبة ومتباينة بدا بالمسطحات المائية بحوالي 128,44% يليه نمط المحاصيل الكبرى بـ 34,54%， ثم الاراضي الجرداء بحوالي 33,81%， ثم المناطق الرعوية بحوالي 9,38% و اقلها كانت في نمط الغابات والأحرش بـ 7,36%.

الكلمات المفتاحية:

الصور الفضائية؛ شغل الأراضي؛ الغطاءات الأرضية؛ نظم المعلومات الجغرافية؛ الاستشعار عن بعد.

Abstract:

In this study, the changes in land use and land cover in Bouira province from 1995 to 2017, were studied through the analysis and classification of the satellite images from Landsat 8 and 5 (OLI and TM). The analysis was enhanced using data collected from field samples, aerial photographs and satellite images (QuickBird). Selected data were processed by GIS (MapInfo, ArcView) and satellite images analysis software (RDAS, ENVI). The results obtained were validated using an error matrix.

The resulting maps revealed that urban areas class witnessed the highest changes with an increasing rate of 80.09%, followed by agricultural areas with 41.02%. Whereas the remaining areas experienced different and significant declines; starting with water bodies with a decreasing rate reaching 128.44%, field crops with 34.54%, bare soils with about 33.81%, pastoral areas with about 9.38% and forest areas with 7.36%.

Keywords: satellite images; land cover; land use; geographic information systems; remote sensing.

1- المقدمة:

في الكثير من الأحيان ما تتم دراسة الغطاءات الأرضية واستخدام الأراضي جنباً إلى جنب، خاصة في الدراسات التي يستعمل فيها الاستشعار عن بعد، وذلك لأن صور الأقمار الصناعية والجوية تمكن من تحديد الغطاءات الأرضية إلى حد كبير في حين ان استنتاج الاستخدامات الأرضية غالباً ما يتطلب معرفة أكبر بمنطقة الدراسة. ومن أجل فهم أكثر للتغيرات الأرضية فإنه غالباً ما يتم تحديد متغير استخدام الأرض والوكليل المرتبط به أي الغطاء الأرضي. حيث يصف الغطاء الأرضي السمات الطبيعية والبشرية التي يمكن ملاحظتها على سطح الأرض، مثل الغابات، المناطق المبنية، الأرض العشبية، المياه، وما إلى ذلك، في حين ان استخدام الأرضي يصف الأنشطة التي تتم على الأرض مثل الأنشطة الإنسانية الحالية.

تمثل إدارة تحولات سطح الأرض بسبب تغيرات استخدامات الأرضي وتغيرات الغطاءات الأرضية أحد التحديات البيئية العالمية الملحة التي يجب معالجتها في هذا القرن⁽¹⁾. وغالباً ما يكون لها عواقب سلبية مثل فقدان التنوع البيولوجي، والتصرّف، وتغيير المناخ. حيث، يعدّ فهم أنماط استخدام الأرضي وتغيير الغطاء الأرضي أمراً ضرورياً لإدارة وتنمية الموارد الطبيعية⁽²⁾. ومن ثم فإن الإدراك الأعمق للروابط المتعددة بين استخدام الأرضي وتغير الغطاء الأرضي وسبل عيش السكان سواء في شكل تجمعات سكانية (رئيسية أو ثانوية) أو في تجمعات سكانية مبعثرة أمر حيوى لخطف استخدام الأرضي وإدارتها، والذي يمكن تسخيره باستخدام الاستشعار عن بعد الذي يعد من بين الطرق الحديثة لرصد واكتشاف تغير الغطاءات الأرضية عبر فترات زمنية، كما له القدرة على تغطية نطاقات جغرافية كبيرة من خلال تحليل صور الأقمار الصناعية ذات درجات وضوح مكانية وطيفية عالية الدقة، كما يوفر بيانات حقيقة عن مناطق يتذرع الوصول إليها، الشيء الذي يجعلها غير مكلفة لا من ناحية الوقت ولا من الناحية المادية مقارنة بالطرق السابقة. وعليه يعد الاستشعار عن بعد عبر صور الأقمار الصناعية أداة ممتازة لدراسة تتبع تغيرات

استخدامات الأرضي والغطاءات الأرضية. وعلى الرغم من وجود بعض العيوب في الاستشعار عن بعد، فقد تم استخدام بيانات الأقمار الاصطناعية المستشارة عن بعد لتحديد التغيرات في مجموعات متعددة من البيئات المائية والبرية بما في ذلك المناطق الساحلية والزراعية والغابات والمناطق الحضرية⁽³⁾.

تم استخدام الاستشعار عن بعد لتصنيف استخدام الأرضي وتغيير الغطاء الأرضي وتخطيطها باستخدام تقنيات ومجموعات بيانات رقمية مختلفة. ساعدت صور لاند سات على وجه الخصوص في تصنیف الأنماط الطبيعية المتباينة على نطاق أوسع⁽⁴⁾. من بين هذه التقنيات نجد التصنيف الغير موجه والتصنيف الموجه الأكثر استخداماً لتصنيف الصور بمساعدة برامج الاستشعار عن بعد ونظم المعلومات الجغرافية⁽⁵⁾.

من المقبول بأن دقة عملية تصنیف الغطاء الأرضي تعتمد على عدة عوامل: مخطط التصنيف، بيانات الصور المستخدمة، اختيار عينات التدريب، إجراءات المعالجات الأولية، خوارزمية التصنيف، تقنيات المعالجات الرئيسية، جمع بيانات التحقق من الصحة وطرق التتحقق⁽⁶⁾. وقد وجد أن معظم الخوارزميات الموجهة يمكن أن تؤدي أداءً جيداً بشكل معقول ويمكن أن تنتج خرائط غطاءات أرضية ذات دقة تصنیف عالية عند تحديد المعايير بدقة وعند استخدام عينات تدريب تمثيلية بشكل كافٍ⁽⁷⁾. تعد الخوارزميات الموجهة مثل احتمالية غوس الأعظمية (Maximum Likelihood Classification) أكثر ملائمة للمستخدمين ويمكن تشغيلها بسهولة⁽⁷⁾.

تم إجراء محاولة في هذه الدراسة بتحليل تغيرات استخدامات الأرضي والغطاءات الأرضية التي يسببها التوسيع العمراني في ولاية البويرة جراء السياسة التعميرية الجديدة نحو المدن الداخلية التي انتهجتها الجزائر، كما جاء في قانون التهيئة والتنمية العمرانية المستدامة المؤرخ في 12 ديسمبر 2001 م، من خلال المخطط الوطني للتهيئة العمرانية (SNAT) الذي من بين أهدافه تركيز التعمير، الهياكل القاعدية والمرافق العمومية بالمناطق التالية⁽⁸⁾، مما جعلها منطقة جذب للسكان وما زاد من وتيرة هذا الجذب توفر ولاية البويرة على خصائص طبيعية ممتازة مثل المناخات والبيئات المتعددة، الترب العالية الجودة، الزراعات

والغطاءات النباتية المتعددة، إضافة إلى موقعها الجغرافي الاستراتيجي الذي يتوسط عديد الولايات، كل هذا رافقه تحولات في شغل الأراضي والغطاءات الأرضية.

باستخدام عدد من تقنيات الاستشعار عن بعد ونظم المعلومات الجغرافية تم رسم ثلاثة خرائط لتتبع تغيرات استخدامات الأراضي وتغيرات الغطاءات الأرضية في ولاية البويرة خلال الفترة الممتدة ما بين 1995 إلى 2017 م، حيث تم استعمال صور الأقمار الصناعية لاند سات متعددة الأطياف لتمييز مدى التغيرات في منطقة الدراسة على مدار 25 سنة. ليكون هدف الدراسة تحديد معدل و حجم التحول في أنماط استخدام الأراضي المختلفة و تغير الغطاء الأرضي في ولاية البويرة من خلال مقارنة البيانات المكانية من خرائط استخدام الأراضي التي أصبحت تحتل مكانة مهمة في صنع سياسات إدارة الموارد الطبيعية و رصد التغيرات البيئية.

- الوسائل والطرق (Materials and Methods)

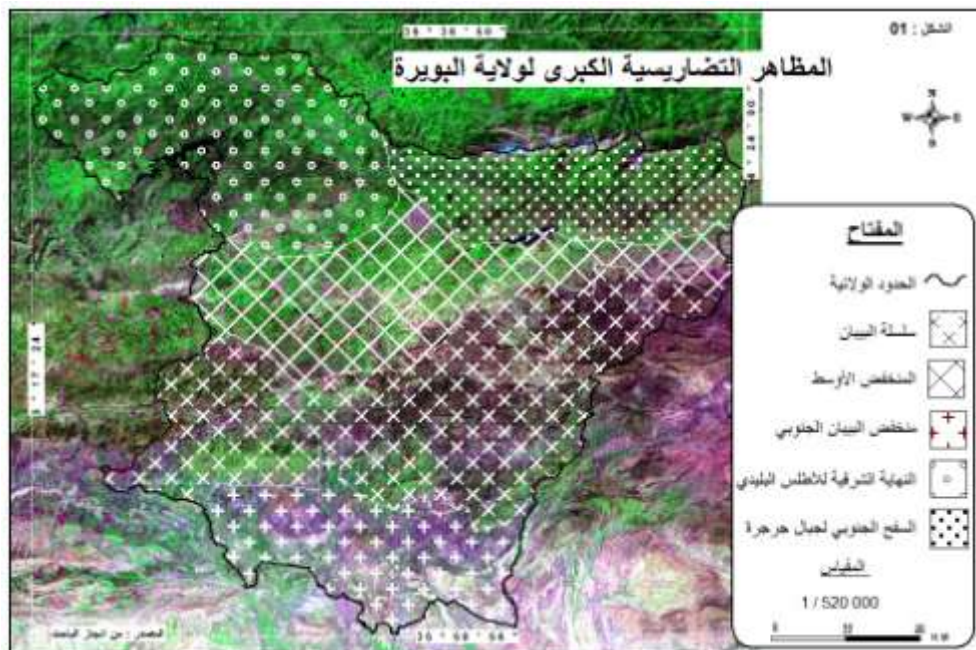
2-1-منطقة الدراسة (Study Area)

منطقة البويرة ولاية داخلية تقع وسط شمال الجزائر، تقريرياً بين خطى : عرض 00° 00' 50'' و 00° 35' 50'' شمالي، و ما بين خطى طول : 17° 24' 03'' و 17° 24' 04'' شرقا، تشغّل مساحة 4467 كم² أي ما يعادل 446700 هكتار.

طوبوغرافياً منطقة البويرة تقسم إلى خمسة مظاهر تضاريسية كبرى ذات مناخات متعددة و غطاءات أرضية مختلفة، الشكل (01)، حيث يمتاز كل قسم بخصائص طبيعية معينة، فنجد النهاية الشرقية للأطلس البليدي تتميز بسطح متضرس و تضم نطاقاً جبلياً شاسعاً يقع في الجهة الشمالية الغربية من المنطقة⁽⁹⁾، يميز هذه المنطقة مناخ شبه رطب (Sub-Humide)، بتساقط معتبر يتراوح من 600 إلى 900 ملم في السنة بحسب الارتفاع، كما يمتاز ببرودة في الشتاء و حرارة في الصيف، الغطاء الغابي في هذه المنطقة يتكون من غابات تغطي مساحة 16192 هكتار، تتكون أساساً من الصنوبر الحلبي، السنديان الفليني والأحراش⁽¹⁰⁾، السفح الجنوبي لجرجرة الذي تقع أراضيه في السفح الجنوبي لجبال جرجرة

في الشمال الشرقي من المنطقة⁽⁹⁾، يميز هذه المنطقة مناخ رطب بارد (Humide-Froid)، حيث تشهد تساقط قوي بمتوسط سنوي يصل إلى 1200 ملم على أعلى جبال جرجرة، كما يمتاز ببرودة في الشتاء وحرارة في الصيف، يكسو هذه المنطقة غطاء ثلجي تزداد أهميته كلما زاد الارتفاع، الغطاء الغابي في هذه المنطقة يغطي مساحة 22786 هكتار ويتكون أساساً من، الصنوبر الحلبي، السنديان الأخضر والأحراش⁽¹⁰⁾، المنخفض الأوسط الذي تمتد أراضيه من الشمال الشرقي إلى الجنوب الغربي متوسطة منطقة الدراسة⁽⁹⁾، يميز هذه المنطقة مناخ نصف جاف (Semi-Aride)، بتساقط متوسط يتراوح من 400 إلى 600 ملم في السنة بحسب الارتفاع، كما يمتاز ببرودة في الشتاء وحرارة شديدة في الصيف، الغطاء الغابي في هذه المنطقة يتكون من غابات تغطي مساحة 8757 هكتار، تتكون أساساً من الصنوبر الحلبي، السنديان الأخضر والأحراش⁽¹⁰⁾، سلسلة البيبان حيث أراضيها والمرتفعات الجنوبية معظمها جبلية ماعدا منخفض سور الغزلان⁽⁹⁾، يميز هذه المنطقة مناخ نصف جاف (Semi-Aride)، بتساقطات عامة ما بين خطوط المطر المتباينة التي تتراوح ما بين 400 إلى 500 ملم و500 إلى 600 ملم في التضاريس المرتفعة جداً، الغطاء الغابي في هذه المنطقة يتكون من غابات تغطي مساحة 58540 هكتار، يتكون أساساً من، الصنوبر الحلبي والأحراش⁽¹⁰⁾، وفي الأخير نجد المنخفض الجنوبي للبيبان الذي يجمع أراضيه واقعة في النهاية الشمالية لسهل الحضنة والتلال الطينية المارنية المنخفضة الواقعة بين مدينة المعمرة والأطراف الجنوبية الشرقية لمنطقة البويرة⁽⁹⁾، يميز هذه المنطقة مناخ نصف جاف (Semi-Aride)، بتساقط متوسط أقل من 400 ملم و200 ملم في أقصى القسم الجنوبي منه، في هذه المنطقة لاحظ وجود غطاء من النباتات السهبية في الجنوب من جبل ديرا⁽¹⁰⁾. كما يتوزع على الأقسام التضاريسية المكونة لمنطقة الدراسة فئات سكانية ذات خصائص معينة، جعلت من استخدامات الأرضي والغطاء الأرضية تختلف من قسم إلى آخر، حيث يصنف القرار الوزاري المشترك المؤرخ في 16/05/1993 ولاية البويرة إلى خمسة بلديات ذات طابع فلاحي رعوي (سهبية) والسهبية إلى إحدى عشرة بلدية والبلديات الواقعة في أقدام الجبال إلى ستة بلديات والباقي أي 23 بلدية ضمن الطابع الجبلي⁽¹¹⁾، شهد

كل صنف من هذه الأصناف نموا سكانيا عبر السنوات (1987، 1997، 2007، 2007، 2018) (12) اعتمادا على إحصائيات التعدادات العامة للسكان والسكن (RGPH) ومن جهة أخرى بينته إسقاطات مديرية البرمجة والمتابعة المالية لولاية البويرة (13) لسنة 2018م.



2-2- البيانات (Data):

تم استخدام صور الأقمار الاصطناعية و البيانات المساعدة للتحقيق في التغيرات الزمنية لاستخدامات الاراضي و الغطاءات الأرضية في منطقة الدراسة على مدار 22 عاماً من 1995 إلى 2017. تم تنزيل ثلاثة مرئيات فضائية من القمر الاصطناعي لاندستس (المسار/الصف : 3352/2801) من نوعين من أجهزة الاستشعار من هيئة المسح الجيولوجي الأمريكية موقع (<http://earthexplorer.usgs.gov/>). يوضح الجدول (01) خصائص صور لاند سات المستخدمة في هذه الدراسة.

الجدول 01 : مصدر وخصائص صور الأقمار الاصطناعية المستخدمة في هذه الدراسة

بيانات الأقمار الاصطناعية	المسار/الصف	تاريخ الصورة	عدد البنادق	درجة الوضوح المكانية
Satellite Data	Path/Row	Image Date	Number of bands	Spatial Resolution
(Landsat8)	2801/3352	13/04/2017	11	30 م
(Landsat5)	2801/3352	01/03/2007	7	30 م
(Landsat5)	2801/3352	01/04/1995	7	30 م

ملاحظات : لاندست5 هو L5 TM مصمم الخرائط (Thematic Mapper)، لاندست8 (Landsat8) هو جهاز تصوير الأرضي التشغيلي ومستشعر الأشعة تحت الحمراء الحرارية

ولضمان إمكانية أفضل للمقارنة، اختربنا الصور التي تم التقاطها في فصل الربيع بسبب أن الغطاء النباتي في هذا الفصل يكون في قمة نموه، يعكسه نشاطه اليخضوري العالي الذي تترجمه الاستجابات الطيفية العالية التي تلتقطها المجرسات المحمولة على الأقمار الاصطناعية، كما نحظى في هذا الفصل بوجود النباتات الحولية و الدائمة معا، ايضا اجتهدنا في اختيار صور فضائية خالية من السحب و هذا من أجل ضمان انعكاسية عالية للعناصر المكونة لسطح الأرض. كما أن تحديد التواریخ كان بناءً على الأحداث البارزة التي كان لها تأثيرات كبيرة في تغيرات استخدامات الارضي و الغطاءات الارضية، حيث تم في دراستنا استخدام صورة لاندست5 (Landsat5) المأخوذة بتاريخ 1 ابريل 1995 م، و هي الفترة التي شهدت أوج الهجرات الكبيرة لسكان الأرياف نحو المدن بسبب الأوضاع الأمنية السائدة في ذلك الوقت، و بعد مضي أكثر من عشرة سنوات شهدت البلاد بأكمالها تغيرات جذرية في العديد من الجوانب السياسية والاقتصادية والاجتماعية التي ساهمت بشكل كبير في تغيير استخدامات الارضي و الغطاءات الارضية، و تم اعتبارها الفترة الثانية حيث استخدمنا في ذلك صورة لاندست5 (Landsat5) المأخوذة بتاريخ 1 مارس 2007م، لنتهي في دراستنا بالاعتماد على صورة لاندست8 (Landsat8) الملقطة بتاريخ 13 ابريل 2017م.

تألف البيانات المساعدة من صورتين للقمر الاصطناعي كويك برد (QuickBird) مأخوذتين من موقع Google Earth، الأولى مأخوذة في فصل الربيع من سنة 2017 م، والثانية في نفس الفصل من سنة 2007 م، بدرجة وضوح مكانية تصل إلى 1 م، حيث قمنا من خلال الصورة الأولى برفع بعض العينات من أجل تأكيد بعض أنماط استخدامات الأراضي و الغطاءات الأرضية التي رفعناها ميدانيا باستخدام نظام تحديد المواقع العالمي (GPS) و هذا بغية الرفع من درجة دقة تصنيف صورة القمر الاصطناعي لاندستس 8. أما الصورة الثانية فتم الاستعانة بها فيأخذ عينات عن أنماط استخدامات الأراضي و الغطاءات الأرضية من أجل استعمالها في عملية تصنيف صورة القمر الاصطناعي لاندستس 5 (2007/03/01)، كما ساعدنا تحليل الصورة الفضائية لاندستس 5 لسنة 2007 م لتأكيد بعضها منها.

استعنا ببعض الصور الجوية بعد تصحيحها هندسيا (Orthorectifier)، المتاحة عن بعض المناطق من التجمعات السكانية الموجودة داخل منطقة الدراسة المأخوذة بتاريخ مختلفة تخص سنوات التسعينات من قبل المعهد الوطني للخرائط و الإستشعار عن بعد⁽¹⁴⁾ و هذا من أجل أخذ بعض العينات على استخدامات الاراضي و الغطاءات الأرضية الثابتة التي لا تتأثر بالفصول و المرئية للعيان بغية تصنيف صورة القمر الاصطناعي لاندست 5 (1995/04/01)، كما ساعدنا كذلك تحليل الصورة الفضائية لاند ست 5 لسنة 1995 م لتأكيد بعضا منها.

تم اخذ مجموعة من نقاط التحكم الأرضية (Ground Control Points) من خلال الزيارات الميدانية التي تم تنظيمها في عام 2017 م خلال نفس الموسم الذي تم فيه الحصول على الصورة الفضائية لاندستات 8 (13/04/2017 م)، وتم تقسيم النقاط (المعطيات الميدانية) إلى مجموعتين واحدة لعينات التدريب المستخدمة في مرحلة التصنيف والأخرى لعينات الاختبار لتقييم دقة التصنيف. بالإضافة إلى مجموعة من الخرائط الرقمية والورقية التي تغطي منطقة الدراسة بما في ذلك سلسلة من الخرائط الطبوغرافية بمقاييس (1 : 50000).

الجدول رقم 02 : خصائص بعض الصور الجوية لمناطق الدراسة (الجمعيات السكنية)

البعد البؤري	المقياس	سنة اخذ الصور الجوية	عدد الصور الجوية	البلديات
213.20	1/10000	1990	13	البويرة
152.678	1/20000	1998	6	عين بسام
152.07	1/20000	1999	6	الاخضرية
152.07	1/20000	1999	5	سور الغزلان
152.07	1/20000	1999	5	امشدالة

2-3- المنهجية:

تمت معالجة وتحليل بيانات صور القمر الاصطناعي لاندسات باستخدام برامج ENVI و MapInfo، وفقاً للخطوات التي يوضحها الشكل (02)، في البداية تم إجراء المعالجات الأولية لصور الأقمار الاصطناعية قبل إجراء تصنيف الصور واكتشاف التغيير الذي يعد أمراً حيوياً للغاية لتقليل الأخطاء وبناء ارتباط أكثر شمولاً بين البيانات التي يتم الحصول عليها و السمات الفизيائية الحيوية على الأرض⁽¹⁵⁾. تمثلت أساساً هذه المعالجات في التصحیحات الهندسیة حيث تم جمع قيم موضعیة لعدد من نقاط التحكم الأرضیة (Ground Control Points, Gcps)، أثناء العمل المیداني في ربيع 2017 م لتصحیح صورة 2017 م هندسیا. تتكون نقاط التحكم الأرضیة بشكل أساسی من تقاطعات الطرق الرئيسية التي لم تتغير خلال فترة الدراسة، بناءً على صور Google Earth لعام 2017 م و الخرائط الأساسية الورقیة، و باستخدام التحويل متعدد الحدود (Transformation Polynomial) تم تصحیح صورة عام 2017 م، هندسیاً وإسقاطها على نظام إحداثیات Universal Transverse Mercator (UTM) (RMS). وصل إجمالي خطأ جذر متوسط التربع (Root Mean Square Error, RMSE) لصورة 2017 م حوالي 2.5 متر، و هو أمر جيد جداً لهذه الدراسة نظراً لأن خطأ RMS يجب أن يكون على الأكثر نصف حجم البیکسل (15 م)⁽¹⁶⁾.

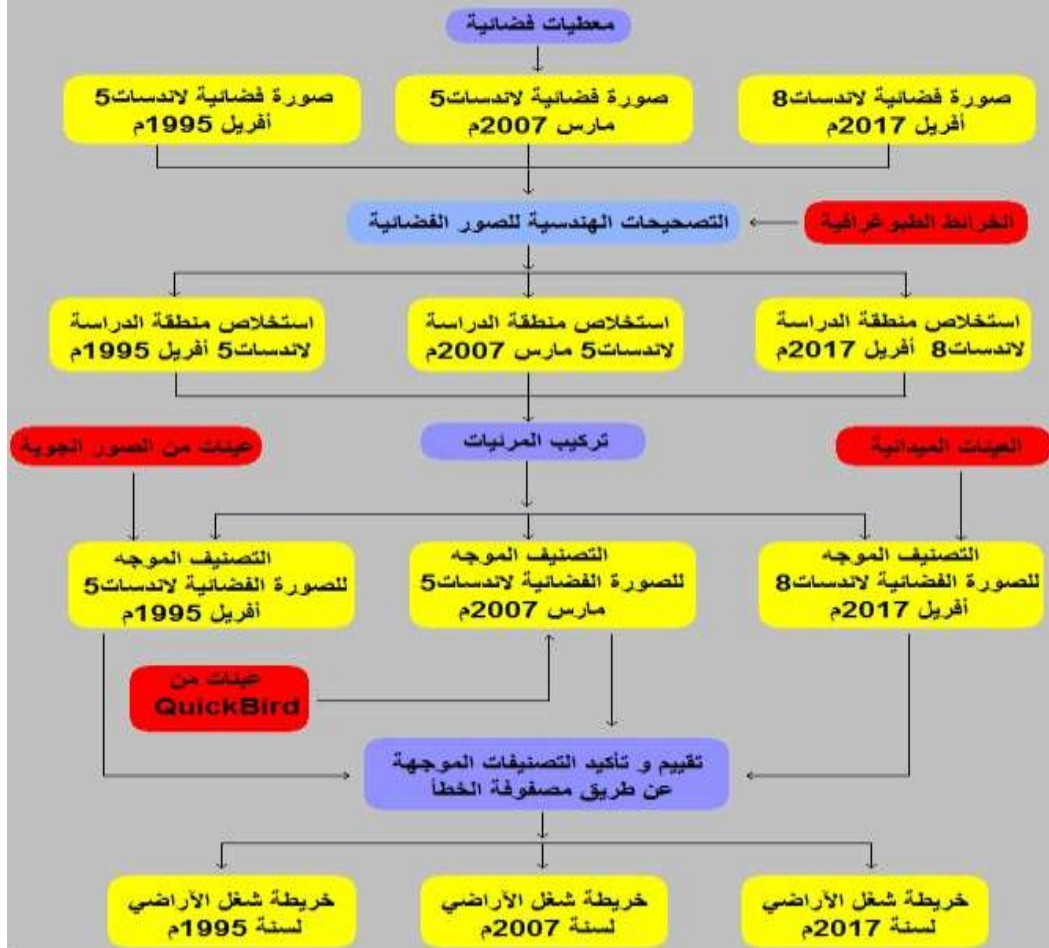
تم بعد ذلك تصحيح الصورتين من لاندسات (TM 1995 و TM 2007) اعتماداً على الصورة المرجعية 2017 Landsat8 OLI/TIRS المصححة هندسياً بطريقة صورة بصورة. تم تطبيق طريقة متعدد الحدود من الدرجة الأولى (First-Degree Polynomial) عند إجراء التصحيحات الهندسية وتقنية إعادة تشكيل أقرب الجيران (Nearest Method) في تسجيل وحفظ الصور.

تم قص و استخراج منطقة الدراسة من جميع صور القمر الاصطناعي لاندسات باستخدام ENVI وهذا من أجل تسريع و تسهيل معالجة البيانات.

بعدها تم الشروع في تصنيف الصور، حيث يهدف إلى وضع جميع خلايا المرئية في مجموعات حسب تجانسها وتماثلها على شكل خارطة تصنيف يتم من خلالها تحديد المعالم وأصناف غطاءات الأرض التي تمتها تلك المجموعات⁽¹⁷⁾. و بتعريف آخر، الغرض من التصنيف تقسيم المرئية الفضائية إلى عدد من الفئات أو المجموعات بناءً على البيانات الرقمية التي تظهرها معالم جغرافية محددة على سطح الأرض اعتماداً على خصائص انعكاساتها الطيفية و انبعاثاتها. من هنا تتضح أهمية دقة التصنيف في إعداد خرائط غطاءات الأرض تكون دقيقة.

في هذه الدراسة، تم تطوير مخطط تصنيف استناداً إلى المعرفة المسبقة بمنطقة الدراسة و المسح الميداني الاستطلاعي و معلومات من الدراسات السابقة، حيث لوحظ من خلال ذلك أن أنماط شغل الأراضي التي يظهرها الجدول (03)، هي الأكثر شيوعاً و تكراراً

الشكل 02 : منهجية إنجاز خرائط شغل الأراضي و الغطاءات الأرضية للسنوات : 1995-2007-2017 م



داخل مناطق الدراسة، حيث تم الاحتفاظ بسبعة (07) أنماط منها وهي: نمط المناطق العمرانية، نمط الاراضي الجرداة، نمط الغابات والأحراش والتشجير، نمط المسطحات المائية، نمط المناطق الرعوية، نمط المحاصيل الكبرى، كما تم دمج كل من أنماط زراعات الخضروات والكرتون والزيتون وزراعة الأشجار المثمرة في فئة نمط الزراعات المتعددة. وإعداد قائمة المصطلحات التي سيتم عكسها على الخرائط المنتجة والتي ستمثل موقع التدريب أو طبقات استخدام الأرض المختارة في عملية التصنيف.

الجدول 03: أنماط استخدامات الاراضي والقطاعات الارضية المستعملة في عملية التصنيف الموجه

اللون	المفتاح	land cover type	نمط الغطاء الأرضي	الرقم
	EB	Espace Bâti	المناطق العمرانية	1
	SL	Sol Nu	الاراضي الجرداة	2
	FM	Fôret et Maquis	الغابات و الأحراش	3
	PE	Plan d'Eau	المسطحات المائية	4
	PR	Zones des Parcours	المناطق الرعوية	5
	GC	Grande Cultures	المحاصيل الكبرى	6
	DC	Diverses cultures	زراعات متعددة	7

استخدمت هذه الدراسة التصنيفات الموجهة لكل بيكسل والتي تجمع وترتب بيكسلات صور الأقمار الصناعية مع نفس ميزات الانعكاس الطيفي أو ما شابهها في نفس فئات المعلومات⁽¹⁶⁾. حيث يعتمد هذا الأسلوب على اختيار عينات من الألوان التي تتألف منها المرئية الفضائية باعتبارها تعبر عن مظاهر بعضها من أشكال سطح الأرض معروفة للمستخدم، والهدف من اختيار تلك العينات تحديد القيم الطيفية الممثلة لكل نوع من أنواع المظاهر الأرضية، وتسمى هذه العينات باسم خلايا التدريب (Parcelles d'entrainements)، وتعرف القيم الطيفية الممثلة في هذه الخلايا باسم البصمات الطيفية (Signature Spectral). وبمجرد أن يتم تعريف القيم الطيفية المختارة لكل مظاهر من مظاهر السطح فإن المرئية يمكن أن تصنف بأكملها (من خلال تعميم تلك العينات على باقي القيم الرقمية المشابهة). والذي

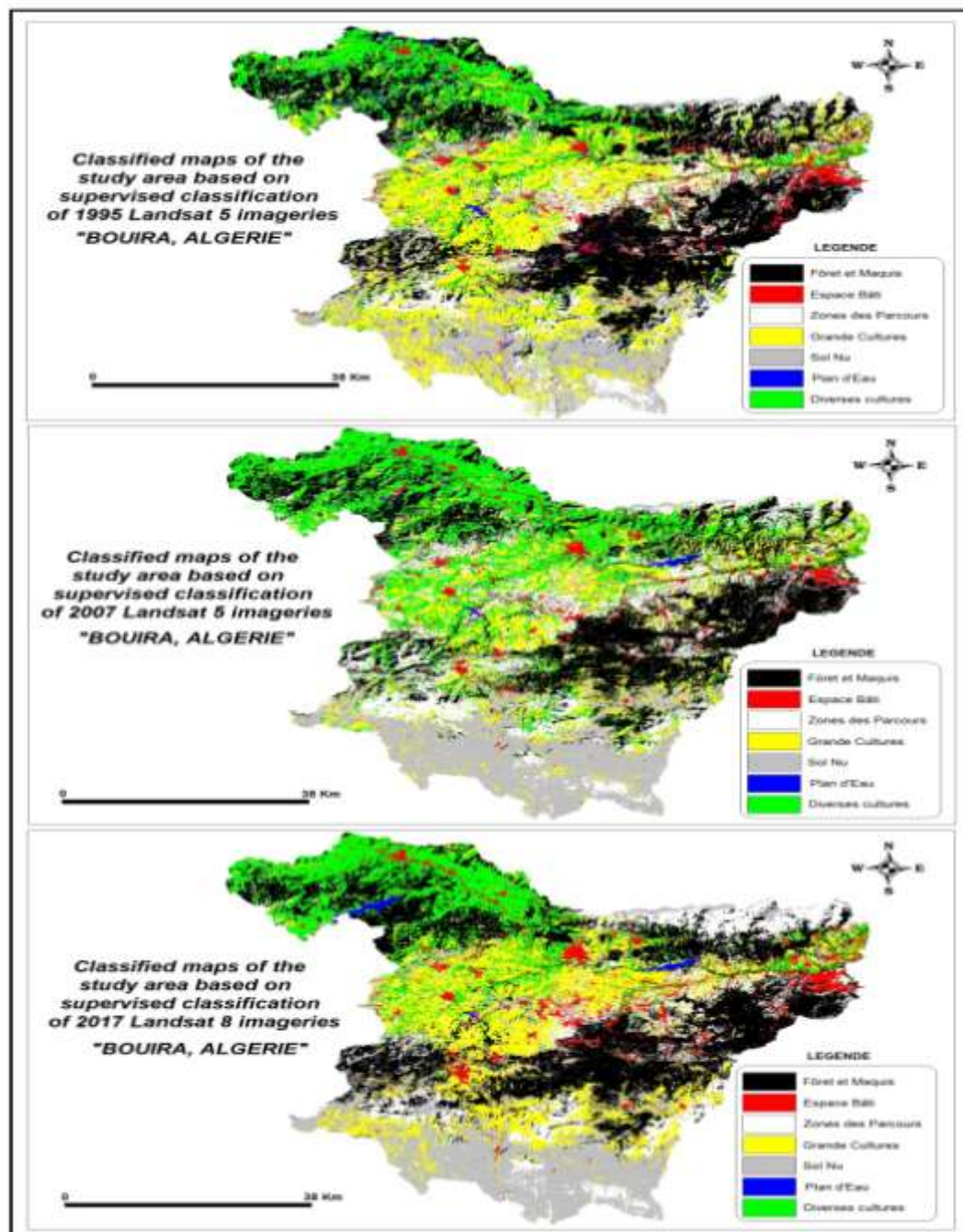
يحدث أن كل خلية من خلايا المرئية تصنف بناء على مدى تشابهها مع القيم الطيفية التي اختارها المستخدم لتمييز شكلًا من أشكال السطح. يتم تحديد المناطق المشابهة طيفياً اعتماداً على بياناتها الرقمية، ثم توضع كل خلية في مجموعة معطيات المرئية في نمط غطاء الأرض الأقرب لها من الناحية الطيفية⁽¹⁸⁾.

في هذا العمل تم تحضير شرائح عينات التدريب وتطابقتها على كل صورة فضائية، ليتم بعد ذلك اختيار مناطق التدريب عن طريق رسم على الأقل عشرة من الحيزات لكل نمط من الغطاءات الأرضية على الصور الفضائية استناداً إلى الصور الجوية والتحليل البصري للموقع على خرائط Google Earth والصور نفسها كما تم استخدام تركيب المرئيات المختلفة لتحسين ملاحظة وتحديد فئات استخدامات الأرضي والغطاءات الأرضية بسهولة في الصور مع مراعاة، اختيار مساحات متجانسة ومتباينة طيفياً وسهلة التحديد، واحتواها على أهداف مختلفة من ناحية استخدامات الأرضي وأنماط الغطاءات الأرضية، وذات أعداد كافية مقارنة بطبيعة المنطقة وموزعة بشكل متجانس على كامل المنطقة، كما يجبأخذ على الأقل 30 بيكسل لكل إشارة طيفية و هو عدد كافي لكل منطقة من مناطق التدريب، و هذا من أجل تمثيل أفضل لكل نمط⁽¹⁹⁾. تم الاستعانة على أكثر من 39% حتى 41% من النقاط في عملية التصنيف الموجه من مجموع العينات التي تم جمعها و التي قدرت بأكثر من 250 عينة لكل صورة، هذا إذا ما استثنينا 23% حتى 25% من المجموع الكلي للعينات و التي احتفظنا بها من أجل تأكيد عمليات التصنيف الموجه، في حين تبقى 38% حتى 40% من العينات تم الاستغناء عنها جراء بعض الأخطاء الكتابية أثناء عملية ملء الاست問ارات الميدانية، لعدم تجانس العينة مع الصور لاعتبارات طبيعية و تضارب بعض الأرقام.

تم إجراء التصنيفات الموجهة على صور لاند سات 1995، 2007، 2017 م، اعتماداً على طريقة، احتمالية غوس الأعظمية (Maximum Likelihood Classification)، التي تعد من الخوارزميات الأكثر شيوعاً⁽²⁰⁾، كما تستخدم على نطاق واسع في أبحاث الاستشعار عن بعد لأنها سريعة وسهلة التنفيذ وتسمح بتفسير واضح للنتائج وتقدم غالباً دقة مرضية⁽²¹⁾. والطريقة مبنية على أساس أن احتمال انتماء وحدة الصورة لأي من أصناف الظواهر الأرضية يكون متساوياً⁽²²⁾.

تمت المقارنة بصرياً وحدات البيكسل الموجودة في الصور المصنفة بالصور الأولية و خرائط (QuickBird) و الصور الجوية، لتحديد دقة التصنيف. تكررت هذه العملية حتى تم التقليل من الأخطاء في التصنيف بشكل ملحوظ.

توضّح الأشكال (03)، (04)، (05)، المخرجات النهائية للتصنيف الموجه، و الذي يتكون من ثلاثة خرائط للأعوام : 1995، 2007، 2017 م.



3- تحليل النتائج والمناقشة (Results and Discussion)

3-1- تقييم الدقة (Accuracy assessment)

تم تقييم دقة التصنيف (Classification Accuracy) باستخدام المقاييس المستمدة من مصفوفات الخطأ (Error Matrix)، و التي تضمنت الدقة الشاملة (Overall Accuracy) و كفاءة كابا (kappa Coeficient). بالإضافة إلى ذلك، تم الحصول أيضاً على دقة المستخدم (User) و المنتج (Producer's) لكل فئة، و التي تقيس على التوالي أخطاء العمولة (Omission) و الإغفال (Commission).

تعتبر قيمة الدقة الكلية (Overall Accuracy) التي تزيد عن 70% دقة تصنيف مقبولة⁽²³⁾. بالنسبة لمعظم التطبيقات، يمكن قبول قيم إحصاء Kappa التي تزيد عن 0.75 باعتبارها اتفاقية ممتازة أو جيدة جداً (Excellent Or Very Good Agreement) بينما تشير القيم في النطاق من 0.40 إلى 0.75 إلى تطابق عادل أو جيد (Fair Or Good) و القيم الأقل من 0.4 تمثل توافقاً ضعيفاً (Poor)⁽²⁴⁾.

تم إجراء تقييم الدقة لصورة عام 2017 م، اعتماداً على المعطيات الميدانية الجيدة المتوفرة بهذا التاريخ، في حين لم يكن بالإمكان الحصول على عينات ميدانية آتية تعكس تواريخ أخذ صورتي القمر الصناعي لاند سات لسنتي 2007 و 1995 م، بسبب ندرة البيانات المرجعية (Reference Data) الكافية، و لكن تم تطبيق نفس منهجية التصنيف المعتمدة في هذه الدراسة على كلتا الصورتين (1995 و 2007). حيث تم اختيار ثلاثة و خمسون بيكسيل بشكل عشوائي من كل صورة (50 بكسل من كل فئة) و فحصها للتأكد من دقتها باستخدام البيانات الحقيقية الميدانية و الصور الجوية و خرائط (QuickBird). خلص تقييم الدقة إلى النتائج المبينة في الجدول (04).

الجدول 04 : تقييم الدقة للخرائط المصنفة سنوات (1995، 2007، 2017)

السنوات	(%) الدقة الشاملة (%)	معامل كابا	خطأ التصنيف أو العمولة (%)	خطأ الحذف (%)
years	Overall Accuracy (%)	kappa Coeficient	Mean Commission (%)	Mean Omission (%)
1995	76	0.69	16.67 ± 23.65	15.88 ± 22.44
2007	79	0.76	14.55 ± 21.34	13.77 ± 20.64
2017	81	0.79	12.75 ± 19.05	11.23 ± 18.87

بلغت الدقة الإجمالية للخرائط المصنفة للأعوام : 1995، 2007، 2017م، على التوالي : 76٪ و 79٪ و 81٪، بناءً على التصنيف الموجه و هي تعتبر مقبولة، في حين كانت قيم معاملات كابا للخريطتين، 2017 و 2007 أكثر من 0.75، مما يشير إلى اتفاق جيد جدا ((Excellent Or Very Good Agreement)). في حين بلغ معامل كابا لخريطة 1995م، 0.69 حيث يعبر عن اتفاق جيد. كما أظهرت النتائج أن متوسط أخطاء العمولة (Omission) و الحذف (Commission) كانت أقل من 25٪ مما يدل على دقة تصنيف مقبولة (Acceptable Classification).

سجل تصنيف استخدام الاراضي وشغل الاراضي لصور الأقمار الصناعية لـ لاندستس (TM) 1995 و 2007 م ولاند سات (OLI) 2017 م، أكبر خطأ عمولة وإغفال ضمن فئات الغابات، المراعي والزراعة المتنوعة، الجدول (05). تفاوتت أخطاء العمولة بين هذه الفئات بين 26٪ و 35٪، بينما تراوحت أخطاء الحذف من 27٪ إلى 34٪. تم الخلط بين هذه الفئات مع بعضها البعض ومع الطبقات الأخرى. قد تكون هذه الأخطاء ناتجة عن الطبيعة المكانية للغطاء النباتي الذي قد يؤدي إلى الارتباك الطيفي. على سبيل المثال، غالباً ما تكون فئة الغابات بجانب بعض الأشجار مثل أشجار الزيتون التي تدخل في فئات الزراعات المتنوعة، كذلك هناك بعض المصادر الأخرى للأخطاء، مثل البيكسلات المختلطة وتأثيرات الانعكاس الجوي، والتي ربما أدت إلى حدوث ارتباك بين فئات استخدامات الأرضي والغطاء الارضي بشكل عام. كما لا نكتفي بهذه النتائج في منطقة دراسة ذات اقسام تضاريسية متنوعة بل ندعوا الى المزيد من التحقيق.

الجدول 05 : أخطاء العمولة والإغفال في تغييرات استخدام الارضي والغطاءات الارضية المصنفة

لخرائط 1995، 2007 و 2017

صورة 1995	صورة خطأ التصنيف (%)	صورة خطأ الحذف (%)	صورة خطأ التصنيف (%)	صورة خطأ الحذف (%)	صورة خطأ التصنيف (%)	صورة خطأ التصنيف (%)
14	13	12	11	7	8	م. العمران
12	11	5	7	5	5	آ. الجرداة
33	35	31	33	27	27	الغابات
5	7	10	9	12	11	م. المائية
27	26	31	29	30	35	المراجع
15	17	21	20	23	25	م. الكبيرة
34	34	28	30	34	33	زراعات أخرى

3-2- تحليل تغييرات استخدامات الارضي والغطاءات الارضية:

اشرنا سابقا انه تم دمج كل من أنماط زراعات الخضروات والكرום والزيتون وزراعة الأشجار المثمرة في فئة نمط الزراعات المتنوعة (DC)، حيث تم استخلاص في النهاية سبعة فئات (07) في كل صورة فضائية من الصور الثلاثة للقمريين الاصطناعيين لاندستات 5 و 8 (Landsat 5 et 8)، واستعمالهم في عمليات التصنيف الموجهة، والفئات المقصودة هي كل من (نمط المناطق العمرانية، نمط الارضي الجرداة، نمط الغابات والأحراس والتشجير، نمط المسطحات المائية، نمط المناطق الرعوية، نمط المحاصيل الكبرى ونمط الزراعات المتنوعة). تمت مقارنة صورة عام 1995 وصورة عام 2007 وصورة 2017م من حيث معدل وحجم التحول في فئات الاستخدامات الارضية والغطاءات الأرضية، وكذا توزيعاتها المكانية، كما هو موضح في الجدول رقم (06) والأشكال (03)، (04)، (05).

الجدول 06 : التغيرات المساحية في أنماط استخدامات الارضي والغطاءات الأرضية

عبر السنوات (1995، 2007، 2017) في ولاية البويرة

معدل التغير (%)	معدل التغير (هـ)	معدل التغير (%)	معدل التغير (هـ)	معدل التغير (%)	معدل التغير (هـ)	سنة 2017	سنة 2007	سنة 1995	أنماط الاستخدامات
1995- 2017	1995- 2017	2007- 2017	2007- 2017	1995- 2007	1995- 2007	المساحة (هـ)	المساحة (هـ)	المساحة (هـ)	و الغطاءات الارضية
80,09	19110	59,47	14190	50,88	4920	23860	9670	4750	المناطق ع
-33,81	-3607	-17,99	-1920	-13,40	-1687	10670	12590	14277	الاراضي الجرداء
-7,36	-11700	-2,83	-4500	-4,40	-7200	159000	163500	170700	الغابات و شن
-128,44	-2299	-25,98	-465	-81,33	-1834	1790	2255	4089	المسطحات م
-9,38	-7670	-4,52	-3695	-4,65	-3975	81770	85465	89440	المناطق الرعوية
-34,54	-28984	-30,22	-25360	-3,32	-3624	83910	109270	112894	المحاصيل ك
41,02	35150	25,38	21750	20,95	13400	85700	63950	50550	زراعات أخرى

وَجَدَ أَنَّ الْفَئَاتِ الَّتِي ازْدَادَتِ فِي الْمَنْطَقَةِ مِنْ فَتْرَةِ الْأَخْرَى تَشْكُلُ كُلَّ مِنَ الْمَنْاطِقِ الْعَمَرَانِيَّةِ وَالْبَرْجَاعَاتِ الْمُتَوْعِدَةِ، حِيثُ شَهِدَ :

نط المناطق العمرانية زيادة بلغت على التوالي 50,88% و 59,47% بين السنوات 2007/2007 و 1995، ويعود هذا الارتفاع في الفترة الأولى إلى نزوح سكان الأرياف إلى المدن جراء الأوضاع الأمنية التي سادت المنطقة آن ذاك مما رفع وتيرة التعمير خاصة البنىيات الفوضوية منها ومع بداية الألفينات بدأت البلاد عامة والمنطقة خاصة في استرجاع استقرارها من جديد ومن ثم بعث مشاريع سكنية ومباني فنية هامة مما ساهم في ارتفاع معدلات التعمير بصورة كبيرة وهذا ما طرجمته النتائج السابقة.

اما فيما يخص نمط الزراعات الأخرى فهو الآخر شهد زيادات ملحوظة من فترة الى أخرى وتحديدا في الفترة الأخيرة (2007/2017) حيث عمد سكان المنطقة خاصة في الجهة الشمالية التي تمتاز بطابعها الريفي الى اللجوء الى زراعة الأشجار بمختلف أنواعها خاصة الزيتون منها وهذا ما يفسر انتقال معدلات نمط الزراعات الأخرى على التوالي بين السنوات 2007/1995 و 2007/2017 من 20,95 % الى 25,38 %. وإجمالاً بلغت الزيادات ما

بين السنوات 1995 حتى 2017 الى 80,09 % بالنسبة لنط المناطق العمرانية مستهلكة ما مساحة حوالي 4444 هكتار، و 41,02 % بالنسبة لنط الزراعات الأخرى مستهلكة ما مساحتها حوالي 666 هكتار. نشير انه وقع تداخل بين بيكسلات نط الزراعات الأخرى ونط الغابات والأحراش، والمرجح ان العديد من بيكسلات هذا الأخير صنفت على أنها زراعات أخرى، بدليل بعض العينات الميدانية التي أكدت ذلك، الأمر الذي يفسر المساحة المعتبرة الذي استحوذ عليها نط الزراعات الأخرى.

كل الفئات المتبقية ما عدا المذكورتين سابقا (العمران، الأشجار المتنوعة) فقد شهدت انخفاضات متفاوتة ومتباعدة من نط الى آخر جراء عوامل مختلفة، منها التوسعات العمرانية على حساب الاراضي المتواجدة بها هاته الأنماط وكذا توجه بعض سكان منطقة الدراسة الى زراعة الأشجار بمختلف أنواعها، مستغلين المساحات الجرداء والجيوب الغير مشغولة في الغابات والأحراش لذلك.

نجد ان الاراضي الجرداء استهلك من مساحتها حوالي 1687 هكتار ما بين السنوات 1995 و 2007 بنسبة وصلت الى 13,40 % و حوالي 1920 هكتار ما بين السنوات 2007 و 2017 بنسبة وصلت الى 17,99 %، اما إجمالا فقد استهلك من مساحتها ما بين السنوات 1995 و 2007 ما يقارب 3607 هكتار بنسبة وصلت الى 33,81 %.

نط الغابات والأحراش هو الآخر عرف تراجعات محسوسة فمن 7200 هكتار ما بين السنوات 1995 و 2007 وصلت الى 4500 هكتار ما بين السنوات 2007 و 2017، بنسبة تراوحت على التوالي: 4,40 % و 2,83 %، واجمالا فقد استهلك من مساحتها ما بين السنوات 1995 و 2017 ما يقارب 11700 هكتار بنسبة وصلت الى 7,36 %.

المسطحات المائية هي الأخرى عرفت تراجعات متباعدة فمن 1834 هكتار بين السنوات 1995 و 2007 وصلت الى 465 هكتار ما بين السنوات 2007 و 2017، بنسبة تراوحت على التوالي : 81,33 % و 25,98 %، واجمالا فقد استهلك من مساحتها ما بين السنوات 1995 و 2017 ما يقارب 2299 هكتار بنسبة وصلت الى 128,44 %.

المناطق الرعوية كذلك شهدت انخفاضات محسوسة لكن متقاربة، فمن 3975 هكتار بين السنوات 1995 و 2007 الى 3695 هكتار ما بين السنوات 2007 و 2017، بنسبة بلغت على التوالي 4,52% و 4,65%， و اجمالا فقد استهلك من مساحتها ما بين السنوات 1995 و 2017 ما يقارب 7670 هكتار بنسبة وصلت الى 9,38%.

نط المحاصيل الكبرى (القمح بنوعيه الصلب و اللين، الشعير) عرف انخفاضاً قدر بحوالى 3624 هكتاراً، بنسبة 3,32% بين السنوات 1995 و 2007 في حين شهد ما بين السنوات 2007 و 2017 انخفاضاً محسوساً بلغ حوالى 25360 هكتاراً بنسبة 30,22%， و عموماً فقد استهلك من مساحة هذا النط ما بين السنوات 1995 و 2017 ما يقارب 28984 هكتار بنسبة وصلت الى 34,54%.

4- الخاتمة:

تم مراقبة استخدامات الارضي والغطاءات الارضية في ولاية البويرة باستخدام الكشف عن التغيير بالتصنيف المراقب اعتماداً على خوارزمية احتمالية غوس الاعضمية لصور Landsat TM5 و OLI8 ونهج مقارنة ما بعد التصنيف للحصول على خرائط دقيقة إلى حد ما للتغيرات استخدامات الارضي والغطاءات الارضية. توضح النتائج كيف يسمح استخدام الاستشعار عن بعد من تقييم ورصد وتحديد حجم التغيرات في استخدامات الارضي والغطاءات الارضية في مناطق واسعة ومتعددة المظاهر التضاريسية أين يصعب على الطرق التقليدية مثل المراقبة الميدانية من تحقيق ذلك. كشفت نتائج هذه الدراسة عن تغيرات في بعض أنماط الغطاءات الارضية في ولاية البويرة بين السنوات 1995 و 2017، أين شهدت الجزائر تحولات اقتصادية واجتماعية وسياسية كبيرة.

تغير المنظر العام في أجزاء عديدة من منطقة الدراسة بشكل ملحوظ على مدار 22 عاماً الماضية. حيث كان أهم تغير في الغطاءات الأرضية بمنطقة الدراسة هو زيادة المناطق العمرانية ثم الزراعات المتعددة، في حين شهدت باقي الانماط تراجعات متباعدة بدا بالأرضي الجراء وانتهاء بالمحاصيل الكبرى.

سلط النتائج التي تم الحصول عليها في هذا البحث الضوء على أهمية معالجة الصور الرقمية عبر الأقمار الاصطناعية بمساعدة تقنيات الاستشعار عن ونظم المعلومات الجغرافية في رسم الخرائط وتحليل تغيرات أنماط الغطاءات الأرضية والاستخدامات الأرضية الزمانية والمكانية والتقدير الكمي.

5- الهو امش:

- 1- Ayele, G.T.; Tebeje, A.K.; Demissie, S.S.; Belete, M.A.; Jemberrie, M.A.; Teshome, W.M.; Mengistu, D.T.; Teshale, E.Z. Time series land cover mapping and change detection analysis using geographic information system and remote sensing, Northern Ethiopia. Air Soil Water Res. 2018, 11, 1–18.
- 2- Myers N (1993) Tropical forests: the main deforestation fronts. Environ Conserv 20:9–16.
- 3- Berlanga CA, Ruiz LA (2002) Land use mapping and change detection in the coastal zone of Northwest Mexico using remote sensing techniques. J Coast Res 18(3):514–522
- 4- Ozesmi SL, Bauer ME (2002) Satellite remote sensing of wetlands. Wetl Ecol Manage 10:381–402
- 5- Lu D, Mausel P, Brondizio E, Moran E (2004) Change detection techniques. Int J Remote Sens 25:2365–2407.
- 6- Gong,P.; Howarth, P.J. An assessment of some factors influencing multispectral land-cover classification. Photogramm. Eng. Remote Sens. **1990**, 56, 597–603.
- 7- Li, C.; Wang, J.; Wang, L.; Hu, L.; Gong, P. Comparison of classification algorithms and training sample sizes in urban land classification with Landsat thematic mapper imagery. Remote Sens. 2014, 6, 964–983.
- 8- Plan d'aménagement de la wilaya de Bouira, phase 2, p : 18, janvier 2012
- 9- عمر زينب، التنمية الفلاحية في ولاية البويرة، ماجستير، تخصص تهيئةريفية، جامعة هواري بومدين للعلوم والتكنولوجيا، كلية علوم الأرض و الجغرافيا و التهيئة القطرية، 2005م.
- 10- CENEAP : le Centre National d'Etudes et d'Analyses pour la Population et le développement.

11- احمد واعمر نادية، تنمية المناطق الجبلية بالجزائر، حالة ولاية البويرة، ماجستير، تخصص جغرافيا، المدرسة العليا للأستاذة بوزريعة، 2006.

12- ONS : l'Office National des Statistiques, Algérie

13- DPSB : Direction de la Programmation et du Suivi Budgétaires, Bouira.

14- INCT : Institut Nationale de Cartographie et de la Télédétection.

15- Coppin, P.; Jonckheere, I.; Nackaerts, K.; Muys, B.; Lambin, E. Digital change detection methods in ecosystem monitoring: A review. *Int. J. Remote Sens.* **2004**, 25, 1565–1596.

16- Campbell JB (2002) Introduction to remote sensing, 3rd edn. The Guilford Press, ISBN 1-57230-640-8.

17- www.ccrs.nrcan.gc.ca/tutor/fundam/29/6/2006.

18- S. Wilkie, David & T.Finn, John, Remote Sensing I magery for atural Resources Monitoring. New York. Columbia University Press, p : 164. 1996.

19- منار محمد احمد شولي، ماجستير (دراسة غطاءات الأراضي في منطقة نابلس باستخدام تقنية الاستشعار عن بعد). جامعة النجاح الوطنية في نابلس، فلسطين، ص : 65، 2008.

20- Soni, S.K. Crop Area Estimation for Bundi Tahsil of Rajasthan using Remote Sensing and GIS Technique. In Proceedings of the Geospatial World Forum, Hyderabad, India, 18–21 January 2011.

21- Bolstad, P.; Lillesand, T.M. Rapid maximum likelihood classification. *Photogramm. Eng. Remote Sens.* **1991**, 571, 67–74.

22- د. عصمت محمد الحسن، معالجة الصور الرقمية في الإستشعار عن بعد، كتاب عن KING SAUD UNIVERSITY سنة 2007، ص : 127.

23- Lillesand, T.M.; Kiefer, R.; Chipman, J. Remote Sensing and Image Interpretation, 6th ed.; John Wiley & Sons: New York, NJ, USA, 2008.

24- Fleiss, J.L.; Levin, B.; Paik, M.C. The Measurement of Interrater Agreement, in Statistical Methods for Rates and Proportions. In Statistical Methods for Rates and Proportions; John Wiley & Sons Inc.: Hoboken, NJ, USA, 2003; pp. 598–626.